РАСПРЕДЕЛЕНИЕ ОБЪЕМОВ ЛЬДА В ЗАПАДНОЙ ЧАСТИ КАТУНСКОГО ХРЕБТА ПО ДАННЫМ РАДИОЛОКАЦИОННОГО ЗОНДИРОВАНИЯ

С.А. Никитин, А.В. Веснин, А.В. Осипов, Н.В. Игловская Томский государственный университет

Представлены результаты радиозондирования 14 ледников в западной части Катунского хребта Центрального Алтая.

В летнем полевом сезоне 2000 г. гляциологическим отрядом Томского государственного университета были осуществлены радиофизические исследования ряда ледников в западной части Катунского хребта Центрального Алтая. Работы проводились при финансовой поддержке Российского фонда фундаментальных исследований в рамках инициативного научного проекта «Изучение закономерностей распределения льда в ледниковой системе Центрального Алтая на основе данных радиолокационного зондирования».

Произведено подробное радиолокационное зондирование 14 ледников, расположенных в верховьях рек Мульты, Курагана (притоки: Иолдо, Левая Осиновка), Кучерлы (притоки Иолдоайры, Кониайры) и Капчал. Среди прозондированных ледников 3 – долинные, 6 – карово-долинные, 4 – каровые и 1 – котловинный. Часть ледников находится на территории Катунского государственного заповедника. Диапазон высот залегания прозондированных ледников находится в пределах от 2200 до 3300 м. На слиянии рек Осиновка и Кураган был организован базовый лагерь экспедиции. Из него было сделано три радиальных многодневных маршрута на исследуемые ледники.

В настоящее время радиолокационное зондирование является одним из самых производительных геофизических методов дистанционного изучения ледников. Сущность этого метода заключается в следующем. В ледник передатчиком через передающую антенну излучается короткий высокочастотный радиоимпульс, который, проходя через ледник, отражается от неоднородностей льда и от его ложа. Отраженные радиоимпульсы поступают через приемную антенну в приемник и затем анализируются схемой обработки. Информация о характеристиках неоднородностей и толщине ледника заключена во временной задержке и интенсивности отраженных радиосигналов.

Для зондирования был использован портативный радиолокационный измеритель толщины льда, разработанный в лаборатории гляциоклиматологии Томского государственного университета. Основные технические характеристики прибора таковы: несущая частота 700 МГц, чувствительность приемника 125 дБ, длительность зондирующего импульса 50 нс, полоса пропускания приемника 40 МГц, мощность излучения передатчика в импульсе 10 Вт, диаграмма направленности приемной и передающей антенных решеток 30°, энергетический потенциал локатора не менее 150 дБ, вес прибора с источником питания и антеннами 10 кг.

Зондирование проводилось по ряду поперечных и продольных профилей в точках отстоящих друг от

друга на 25, 50 или 100 м. Интервал съемки выбирался в зависимости площади исследуемого ледника и получаемых значений толщины. При радиозондировании толщину льда измеряли по шкале индикатора, представляющего собой светодиодную матрицу. Каждый ее элемент при принятой скорости распространения радиоволн во льду 169±2 м/мкс соответствует толщине льда 4 м. Такое значение скорости радиоволн в сплошном горном льду хорошо согласуется с нашими данными измерений в районе скважин на ледниках Алтая, Тянь-Шаня и Кавказа [2-4]. Наряду с сигналами, отраженными ложем ледника, на записях присутствуют сигналы от внутренних неоднородностей и промежуточных отражающих горизонтов. При интерпретации данных радиозондирования сигналом от ложа считался тот, который имел максимальную временную задержку, присутствовал на записях всех отсчетов в месте съемки и согласовывался с измерениями в соседних точках профилей.

Построение карт толщины ледников, вычисление их объемов и средних значений толщины выполнено на персональном компьютере с использованием программного обеспечения SURFER. Результаты съемки отображены табл. 1. В ней представлены следующие сведения: номер ледника по каталогу [1], название ледника, морфологический тип ледника, основная экспозиция, нижняя и верхняя отметки высот ледника над уровнем моря, площадь ледника на момент измерения, объем ледника, средняя толщина ледника и максимальная толщина.

На рис. 1. представлена карта толщин карового ледника Томич (№ 69 по каталогу ледников [1]), на котором в 1969—1973 гг. проводились комплексные гляциологические исследования в рамках программы Международного гидрологического десятилетия [6]. Ледник залегает в двухкамерном цирке, слабо наклоненном в восточном направлении. Нижняя и верхняя отметки ледника — соответственно 2200 и 2850 м. По данным зондирования значительная часть ледника имеет толщины в пределах 40–50 м, средняя толщина составляет 31,2 м, а максимальная толщина — 55 м. На карте отчетливо прослеживается подледниковый гребень, разделяющий ледник на две части. Толщины льда в этом районе уменьшаются от 40 до 25 м.

В табл. 2 представлены значения площадей и объемов льда в ледниках на различных высотах, заключенных между соседними стометровыми горизонталями поверхности. Диаграммы распределения объемов и площадей ледников по высоте показаны на рис. 2. 63% объема льда находится в высотном интер-

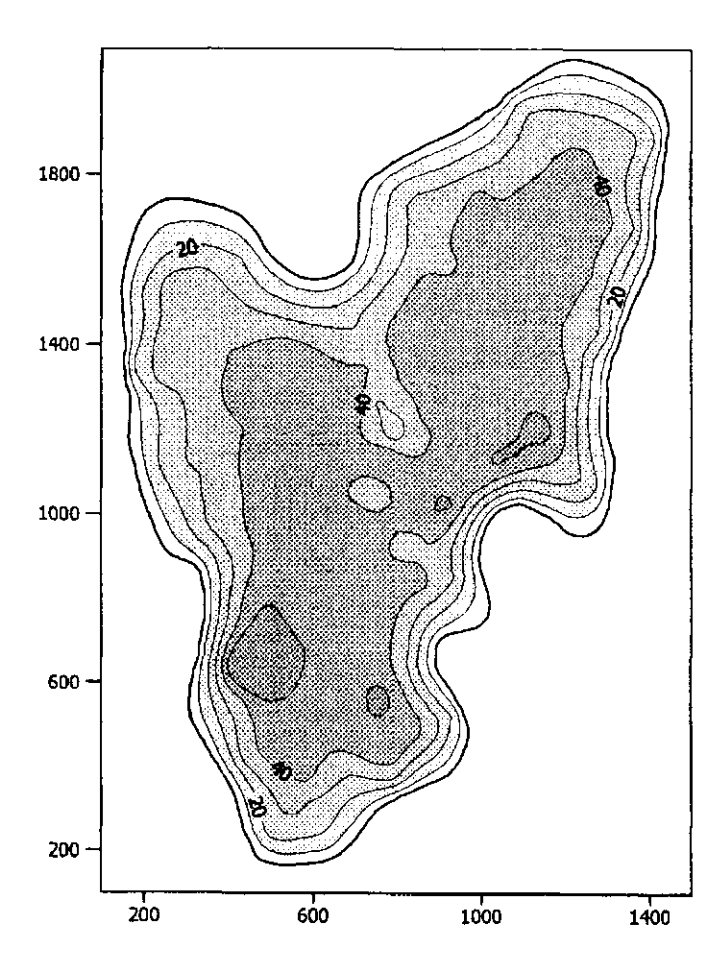


Рис. 1. Карта толщин ледника Томич

 $\begin{tabular}{ll} T а $ 6$ л $ и $ ц $ a $ 1$ \\ P езульт$ **ат** $ы зондирования ледников западной части Катунского хребта \\ \end{tabular}$

№	№ по каталогу	Название педника	Морф. тип	Эксп.	Выс.отм. min., м	Выс.отм. max., м	Площадь, км²	Объем, км³	Толщ. средн., м	Толщ. ma x, м
1	15.1.4.20	№20	кардол.	Ю	2690	3200	1,546	0,0556	35,9	76
2	15.1.4.69	Томич	каровый	В	2200	2850	1,550	0,0483	31,2	55
3	15.1.4.72	№72	кардол.	C	2300	2700	0,865	0,0245	28,4	50
4	15.1.4.73	№73	кардол.	C	2300	2700	1,146	0,0412	36,0	80
5	15.1.4.74	№74	кардол.	C	2350	2800	0,932	0,0320	34,3	67
6	15.1.4.97	№97	каровый	CB	2350	2920	0,527	0,0157	29,8	55
7	15.1.4.98	№98	кардол.	CB	2400	2900	0,508	0,0137	26,7	55
8	15.1.4.136	№13 6	дол.	С	2450	3140	1,657	0,0509	30,7	50
9	15.1.4.143	№143	дол.	ЮЗ	2440	3130	0,960	0,0379	39,4	101
10	15.1.4.145	№14 5	каровый	ЮЗ	2640	3400	0,358	0,0128	35,7	76
11	15.1.4.146	№146	каровый	ЮЗ	2660	3400	0,337	0,0084	24,9	50
12	15.1.4.174	Иолдоайры	котловин.	CB	2640	2930	3,034	0,1215	40,1	97
13	15.1.4.175	№175	кардол.	С	2640	2920	1,333	0,0572	42,9	105
14	15.1.4.182	Кониайры	дол.	С	2560	3490	3,681	0,1113	30,2	73

Таблица 2

Распределение объемов и площадей ледников по высоте

Высоти	Ne20	Q	To	Томич	¥	Ne72	Ne.	Ne73	Ne.	Nº74	₩.	Ne97	₩	Ne98
HHT., KM	V, KM³	S, rox²	V, KM ³	S, KM²	V, tou ³	S, KM ²	V, KM ³	S, KM²	V, KM³	S, KM²	V, xoæ³	S, rom ²	V, KM ³	S, ron²
2.2-2.3					0,0055	0,1547	0,0013	8/90,0						
2.3-2.4			0,0035	0,1451	0,0116	0,3153	0,0062	6091'0	0,0017	0,0710	0,0003	0,0184	0,0011	0,0543
2.4-2.5			0,0123	0,3167	0,0062	0,2154	0,0159	0,2995	0,0053	0,1502	0,0083	0,2655	0,0071	0,1844
2.5-2.6			0,0215	0,5882	0,0010	0,0720	0,0113	0,2750	0,0122	0,2695	0,0062	0,1610	0,0048	0,1814
2.6-2.7	n		0,0104	0,3412	0,0002	0,0290	0,0052	0,1549	0,0119	0,2932	6000'0	0,0451	0,0003	0,0359
2.7-2.8	9800'0	0,2952	600000	0,0668			9100'0	0,0757	0,0011	0,0828				
2.8-2.9	0,0316	0,6055					0,0003	0,0273						
2.9-3.0	0,0154	0,5807								•				
3.0-3.1						"								
3.1-3.2						-		,		_				
3.2-3.3										•				
Сумма	0,0557	1,4815	0,0485	1,4579	0,0245	0,7864	0,0418	1,0612	0,0322	0,8666	0,0158	0,4901	0,0133	0,4560
Высотн.	9€1₩	95	Ne143	43	Nº145	45	MI	№146	Иолдоайры	ařpu	№175	7.5)Ve	Ne182
MHT., KM	V, KM ³	S, KM ²	V, KM ³	S, KM ²	V, KM	S, rea ²	V, KM	S, KM ²	V, KM	S, IDA ²	V, rod³	S, roc²	V, км³	S, ron ²
2.2-2.3	1			İ										
2.3-2.4						_								
2.4-2.5	0,0050	0,1789											0,0005	0,0573
2.5-2.6	0,0153	0,4061	8000'0	0,0506					0,0156	0,3742			0,00283	0,1875
2.6-2.7	0,0182	0,4452	9800'0	0,2582					0,0392	0,7649	0,0013	0,0758	0,0124	0,3642
2.7-2.8	0,0109	0,3682	0,0213	0,3879	0,0041	0,1226	0,0044	0,1496	0,0455	1,2206	0,0388	0,8604	0,0405	0,8307
2.8-2.9	0,0015	0,1594	0,0076	0,2124	0,0087	0,2158	0,0041	0,1671	0,0215	0,5599	0,0171	0,3496	0,0234	0,6334
2.9-3.0													0,0187	0,6464
3.0-3.1												• • •	0,0112	0,6564
3.1-3.2													0,0015	0,0797
3.2-3.3													0,0003	0,0446
Cymma	0,0509	1,5578	0,0383	0,9091	0,0128	0,3385	0,0085	0,3168	0,1218	2,9196	0,0572	1,2859	0,1113	3,5002

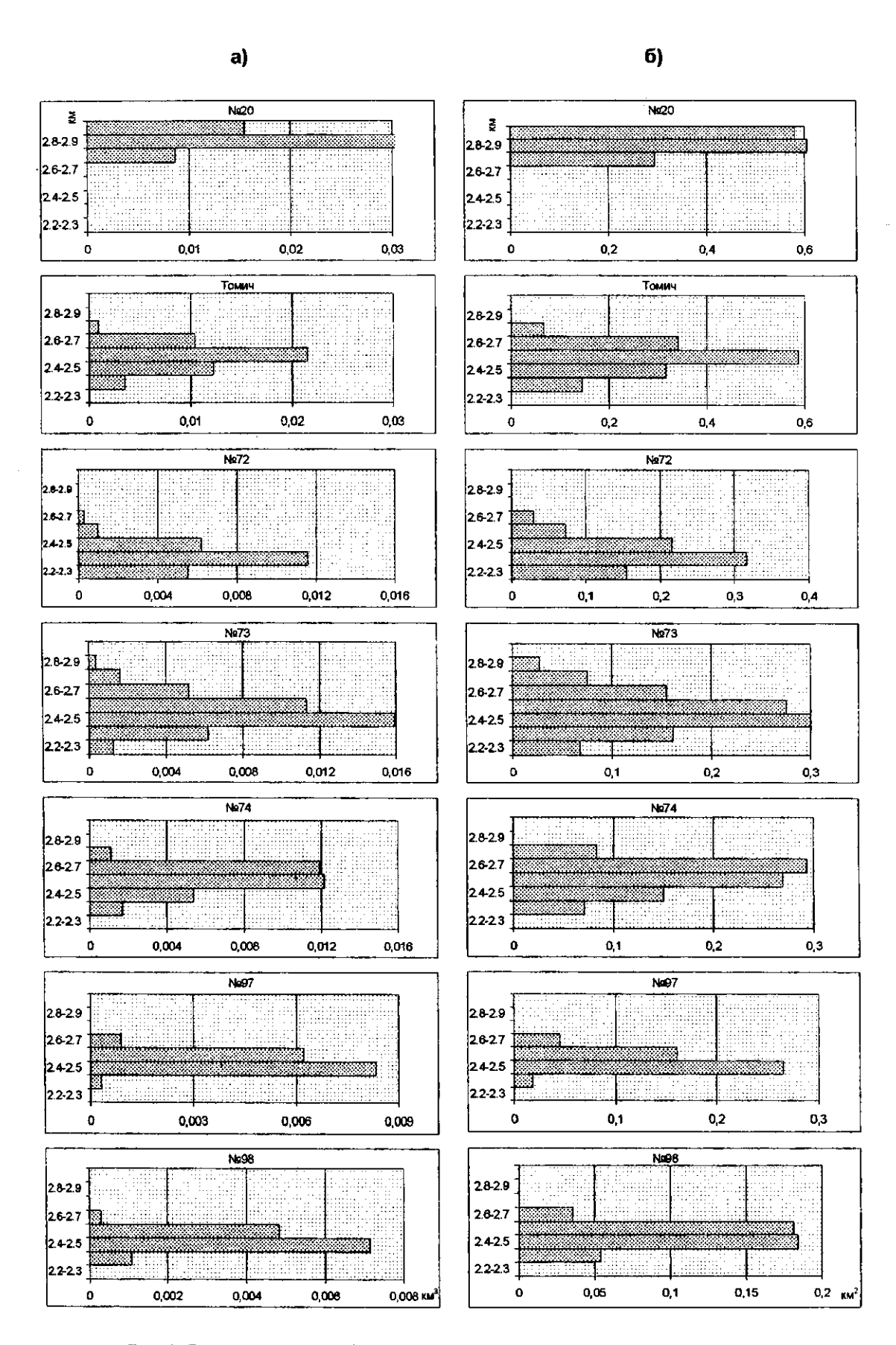


Рис.2. Распределения объемов - а) и площадей - б) ледников по высоте

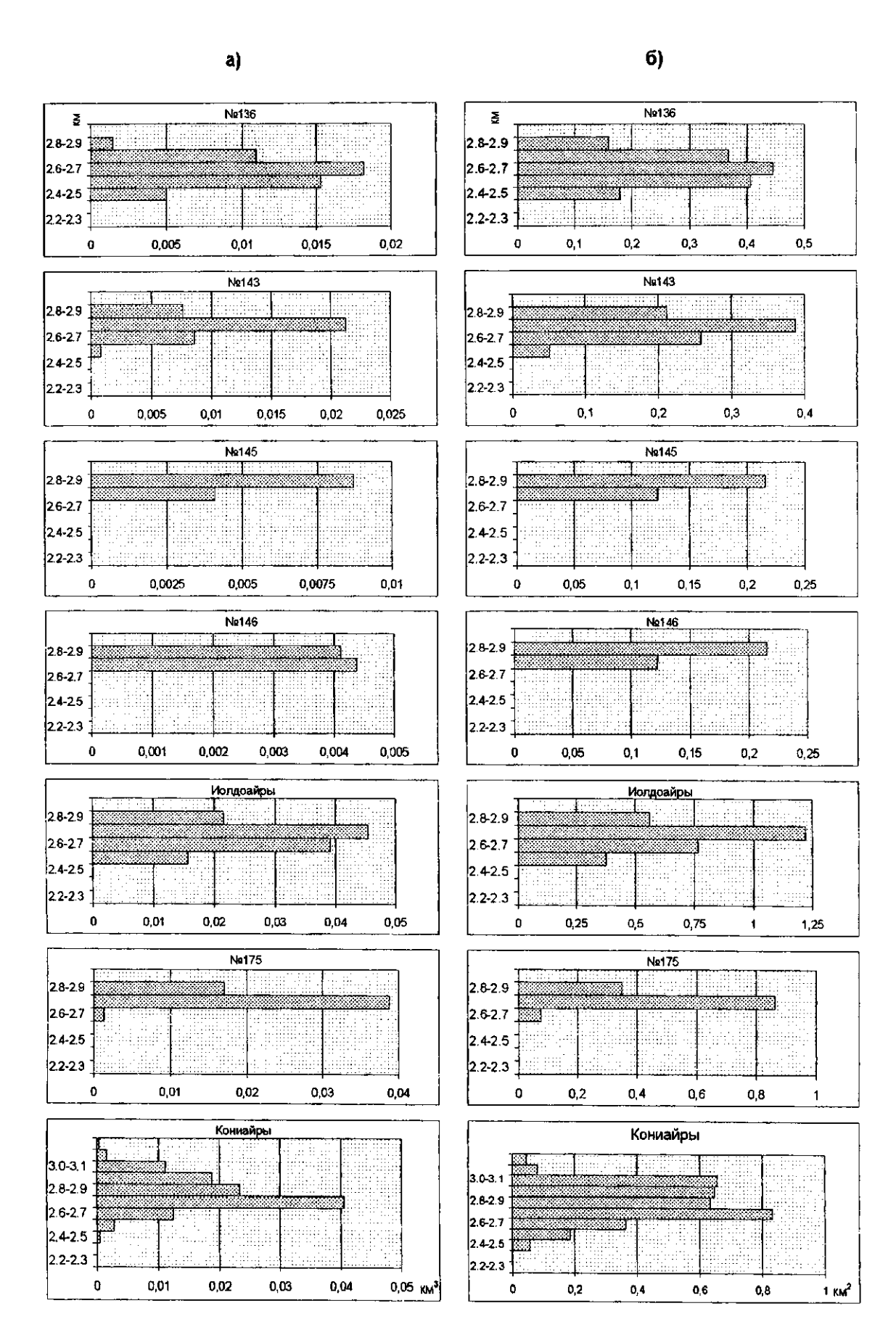


Рис.2. (продолжение) Распределения объемов - а) и площадей - б) ледников по высоте

вале 2600-2900 м. Около 30% – в интервале 2200-2600 м, а остальные 7% – выше уровня 2900 м.

По результатам подробной радиолокационной съемки ледников получена зависимость между их объемами и площадями (рис. 3), которая аппроксимирована степенной функцией с коэффициентом корреляции 0,967.

$$V = 0.0328 \cdot S^{1,0901}$$

где S – площадь ледника, км²; V – объем ледника, км³.

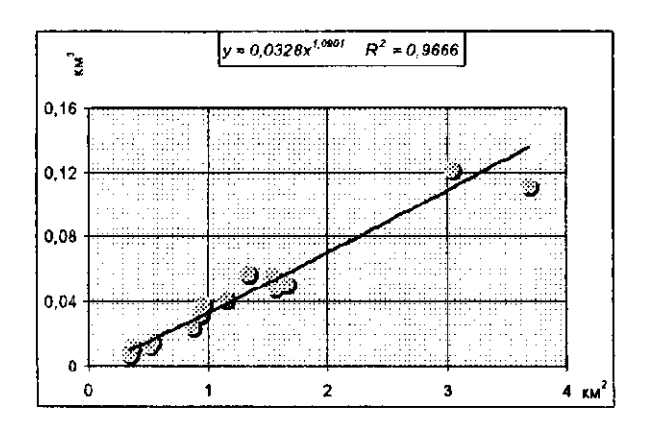


Рис. 3. Зависимость объемов прозондированных лединков от их площадей

Эта зависимость была применена для расчета объемов незондированной части ледников западной оконечности Катунского хребта. Для этой цели использовались данные Каталога ледников [1]. Характеристики распределения оледенения по бассейнам сведены в табл. 3. В ней представлены наименование бассейна, количество ледников в бассейне, общая площадь оледенения бассейна, объем льда в ледниках, рассчитанный по полученной зависимости. По нашим оценкам в рассматриваемых ледниках Катунского хребта аккумулировано 2,2528 км³ льда.

Таким образом, произведена оценка запасов льда и его распределение в западной части Кагунского хребта. Средняя толщина оледенения составляет 32 м, что почти в два раза меньше, чем в Северо-Чуйском и Южно-Чуйском хребтах (57,7 и 56,7 м соответственно) [5]. В рассматриваемых ледниках западной части Катунского хребта аккумулировано 2,2528 км³ льда. Большая часть льда (1,8 км³) находится в бассейнах северных макросклонов хребта.

Авторы выражают благодарность студентам кафедры краеведения и туризма геолого-теографического факультета ТГУ А.П. Лушникову, А.Б. Суразакову и А.В. Чеботареву за активное участие в экспедиционных работах.

Работа выполнена при поддержке Российского фонда фундаментальных исследований, проект 99-05-65564.

Таблица 3 Суммарные объемы ледников в бассейнах рек западной части Катунского хребта, полученные по степенной зависимости $V=0.0328*S^{1.9901}$

№	Бассейны рек и их притоков	Количество ледников в бассейне	Номера ледников по каталогу [1]	Площадь дедников бассейна по каталогу, км ²	Расчитанный объем ледников, км ³
1	р. Верх.Кураган	13	29-41	4,1	0,1226
2	Оз.Тайменье	6	42-47	1,3	0.0378
3	р. Озерная	6	48-53	5,9	0,1997
4	р. Тихая	· 2	54-55	1,1	0,0355
5	р. Быстрая Собачья	4	56-59	1,6	0,0510
6	р. Тихая Собачья	1 .	60	0,3	0.0088
7	р. Проездная	2	61,62	0,4	0,0113
8	р. Крепкая	4	63-66	2,2	0,0704
9	р. Мульта	17	67-83	11,65	0,3813
10	р. Акчан	3	84-86	1,4	0,0441
11	р. Ещту	2	87-88	0,2	0.0053
12	р. Караайра	18	89-106	11,7	0,3787
13	р. Хазиниха	15	107-121	6,4	0,1999
14	р. Иолдо	25	122-146	12,6	0,4060
15	р. Авьяк	3	147-149	0,4	0,0110
16	р. Ермолай	2	150-151	0,4	0,0115
17	р. Мал.Кологаш	5	152-156	3,6	0,1201
18	р. Бол.Кологаш	4	157-160	4,7	0,1578
	Сумма	132		69,95	2,2528

Лигература

- 1. Каталог ледников СССР. Ленинград: Гидрометеоиздат, 1978. Т. 15. Вып. 1. Ч. 4. 80 с.
- Мачерет Ю.Я., Никитин С.А. Толщина льда, подледный рельеф и внутреннее строение ледника Туюксу по данным радиолокационного зондирования. Материалы гляцнологических исследований. М., 1988. Вып. 64. С. 73–75.
- 3. Никитин С.А. Результаты радиолокационного зондирования ледников Актру. Гляциология Сибири № 1(16), Томск, Изд-во ТГУ, 1981. С. 98–110.
- 4. Никитин С.А., Татаринов В.Н. Применение радиолокационного метода для исследования ледников Алтая. Материалы гляциологических исследований. вып. 44, М., 1982. Вып. 44. С. 156–164.
- 5. Никитин С.А., Веснин А.В., Осниов А.В., Ипловская Н.В. Распределение запасов пресной воды в ледниках Центрального Алгая. Труды научной конференции «Фундаментальные проблемы воды и водных ресурсов на рубеже 3-го тысячелетия», Томск, 2000. С. 341–344.
- 6. Ревякин В.С., Галахов В.П., Голещихин В.П. Горноледниковые бассейны Алгая. Томск: Изд-во ТГУ, 1979. 309 с.